УДК 621.762:621.78:620.22

МАТЕРИАЛОВЕДЕНИЕ

### С.Г. МАМЯН, А.В. АНДРИАСЯН

# ИССЛЕДОВАНИЕ ВОДОРОДНОГО ОХРУПЧИВАНИЯ ПРИ ВЫСОКОТЕМПЕРАТУРНОЙ ТЕРМОМЕХАНИЧЕСКОЙ ОБРАБОТКЕ (ВТМО) ПОРОШКОВЫХ СТАЛЕЙ

Установлено, что при прямой ВТМО порошковых сталей общее количество водорода, находящегося в виде твердого раствора и в молярном состоянии, аккумулированного в порах, может достигнуть  $10...20~cm^3/100~r$  металла. Это приводит к флокенообразованию и ухудшению механических свойств, особенно при жестких методах испытаний.

**Ключевые слова:** водородное охрупчивание, термомеханическая обработка, флокенообразование, интеркристаллитная хрупкость, обезводораживание.

При получении высокопрочных ( $\sigma_B$ =1500...2400 *МПа*) конструкционных деталей и инструментов из порошковых стальных заготовок путем спекания в водородной среде и последующей горячей пластической деформации (ковка, штамповка, экструзия, динамическое горячее прессование) часто встречаются явления водородного охрупчивания [1-4], в связи с чем исследование особенностей водородного охрупчивания при ВТМО порошковых сталей имеет важное научнопрактическое значение.

Водород в сталях находится в твердом растворе или скапливается в порах – на границах зерен и на дислокациях. Хрупкость стали проявляется тем резче, чем выше ее прочность. Сильное охрупчивание наблюдается в закаленных сталях с мартенситной структурой [5].

Растворимость водорода в техническом железе зависит от состава сплава, температуры и давления водорода (рис. 1). При  $910^{\circ}$ С растворимость водорода в у-Fe составляет 6,5  $cm^3/100$  r, а при температуре спекания  $1150^{\circ}$ С - 8  $cm^3/100$  r. При обычных температурах, порядка комнатной, кажущаяся повышенная растворимость может быть обусловлена образованием соединений или выделением водорода в порах и на дефектах строения.

Из образцов сравнительно небольшого сечения, охлаждаемых медленно в печи или на воздухе, растворенный при высоких температурах водород удаляется почти полностью. В больших образцах, естественно, остается много водорода. О влиянии различных легирующих элементов на растворимость водорода имеется мало данных. Никель, марганец и кобальт повышают растворимость, а углерод, хром, алюминий и, по - видимому, кремний снижают ее.

Из всех известных элементов водород диффундирует в железо сравнительно быстро, т.к. атомный диаметр водорода наименьший. В [5] на основании вычислений даны следующие уравнения для коэффициента диффузии:

$$D_{H}(\alpha) = 2.2 \cdot 10^{-3} e^{-2900/RT} c_{M}^{2}/c, D_{H}(\gamma) = 1.1 \cdot 10^{-2} e^{-2900/RT} c_{M}^{2}/c.$$

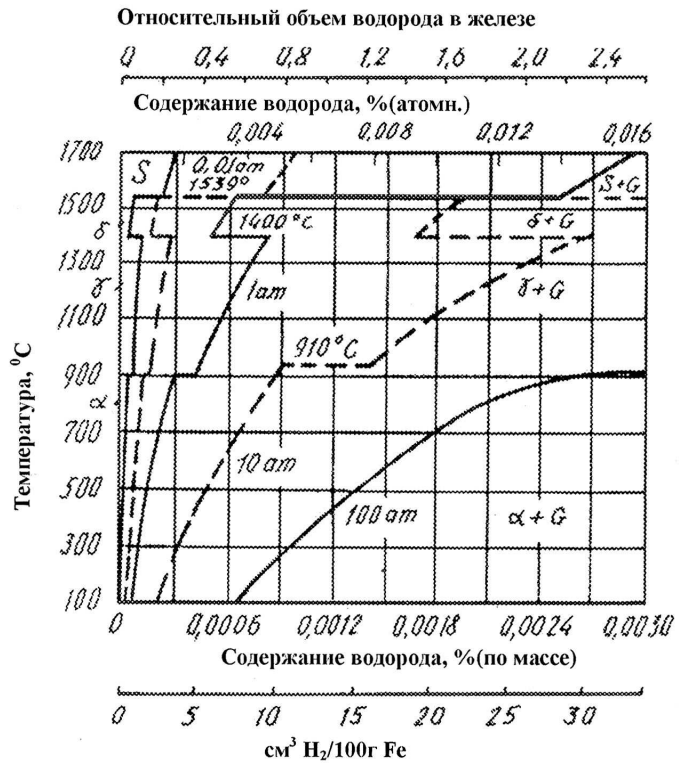


Рис. 1. Растворимость водорода в железе при различных давлениях

Следует различать диффузию и способность к проникновению (или выхода). Если для процесса диффузии определяющим является градиент концентрации внутри металла, то для способности к проникновению существенное значение имеют реакции на поверхности материала.

При обычных режимах спекания в водородосодержащих средах, кроме атомарного водорода, находящегося в твердом растворе, значительное его количество аккумулируется в порах. С точки зрения экономичности и технологичности, формирование деталей методом горячей деформации часто осуществляется непосредственно с температуры спекания (рис. 2). При этом происходит захлопывание пор, в которых имеется значительное количество водорода, что является причиной флокенообразования после ковки, штамповки и экструзии, приводящего к резкому снижению пластичности и характерному интеркристаллитному излому.

С целью изучения проблемы водородного охрупчивания с исключением остальных факторов (чистоты и дисперсности порошков) и создания наилучших условий при рентгеноструктурных анализах тонкого строения мартенсита исследования проводились на сталях П25, П35, ПУ8А, П40Х, П40ХН, П40ХНМ, П12ХНЗА, полученных на основе карбонильного железного порошка марок А2 и ЦНИИЧМ. С целью обеспечения гомогенности сталей шихта изготовлялась из

дисперсных порошков (<50 *мкм*) механическим высокоэнергетическим смешиванием в шаровых мельницах.

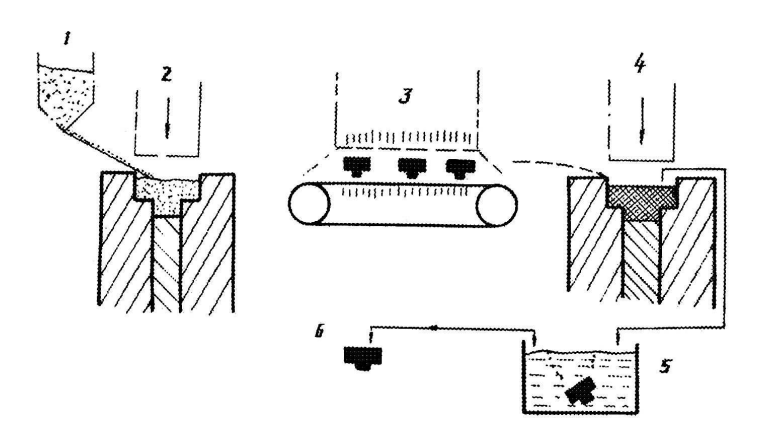


Рис.2. Схема получения высокопрочных порошковых деталей с применением ВТМО: 1-бункер с порошком, 2- прессование, 3 – нагрев заготовок в контролируемых атмосферах, 4 - горячая деформация (формирование деталей), 5- закалка, 6-отпуск

Спрессованные плоские и цилиндрические образцы пористотью 20...25% спекались в атмосфере водорода (точка росы – 27°С). Выбранные режимы обеспечивали получение гомогенных структур. Часть образцов пористостью 8...15% после спекания подстуживали до температуры 800...900°С и подвергали ВТМО экструзией с 6-кратным обжатием. Другую часть подвергали вакуумному отжигу при температуре 500...550°С (обезводораживание), после чего осуществляли ВТМО с аналогичными режимами. С целью выявления эффекта ТМО образцы после экструзии подвергали полному отжигу при 870°С в вакуумной печи с выдержкой 3 ч и дальнейшей закалке с отпуском – обычная термическая обработка (ОТО).

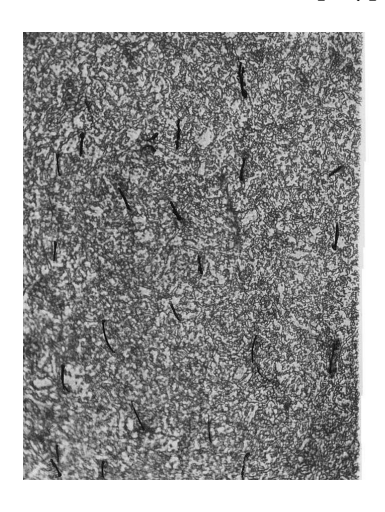
Для определения количества водорода и кислорода образцы подвергали газовому анализу методом вакуум – плавления.

Анализ результатов механических испытаний порошковых сталей показал, что при всех режимах термомеханического упрочнения по сравнению с ОТО наблюдается резкое повышение прочностных и одновременно пластических характеристик на 40...60%. Например, для стали ПУ8К, несмотря на промежуточный вакуумный обезводораживающий отжиг, механические свойства после ОТО получаются очень низкими: при  $300^{\circ}$ С -  $\sigma_{\text{в}}$ = $1300 \ M\Pi a$ ,  $\delta$  = 1...2%.

Согласно нашим исследованиям, а также по данным [2], содержание водорода в компактной высокопрочной порошковой стали после ВТМО с экструзией или динамического горячего прессования (при осуществлении горячей деформации непосредственно с температуры спекания) составляет в среднем  $12...20\ cm^3/100\ r$  металла в зависимости от исходной пористости заготовки, в то время как содержание водорода в кислой мартеновской стали колеблется в пределах от 3...4 до  $5...7\ cm^3/100\ r$  металла.

Проблема водородного охрупчивания заметно выявляется при изготовлении порошковых массивных деталей с использованием более жестких схем деформации: экструзии, ковки и штамповки.

Анализ механических свойств после ВТМО цилиндрических (Ф 40 мм) образцов (экструзия с 6-кратным обжатием) с исходной пористостью 15% показал, что обезводораживание перед ВТМО приводит к резкому повышению комплекса механических свойств (табл. 1). При осуществлении ВТМО непосредственно после спекания (содержание водорода  $16 \ \textit{cm}^3/100\textit{r}$ ) из-за водородного охрупчивания наблюдалось флокенообразование (рис.3), приводящее к интеркристаллитному разрушению вплоть до высоких температур отпуска (400...500°C).



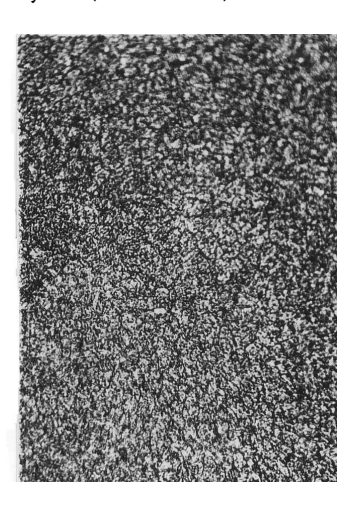


Рис. 3. Микроструктура порошковой стали ПУ8 после ВТМО: а - с температуры спекания (прессование + спекание при  $1150^{\circ}$ C + подстуживание до  $900^{\circ}$ C + закалка + отпуск при  $200^{\circ}$ C);

б - включающей обезводораживающий отжиг (прессование + спекание + охлаждение до комнатной температуры + обезводораживающий отжиг при  $550^{\circ}\text{C}$  + BTMO + отпуск при  $200^{\circ}\text{C}$ )

Как видно из табл. 1, после обезводораживания (содержание водорода не превышало 1,5  $cm^3$  / 100~r металла) значительно повышаются как прочностные, так и пластические свойства, особенно ударная вязкость (КСU) и работа распространения трещины (КСТ).

На примере У8К видно, что после BTMO вне зависимости от содержания водорода отмечается значительное повышение механических свойств по отношению с ОТО. В данном случае резкое повышение комплекса механических свойств можно объяснить как процессом обезводораживания, так и формированием развитой дислокационной субструктуры мартенсита в результате BTMO.

 Таблица 1

 Механические свойства порошковых сталей после ВТМО с экструзией

Марка	tотп.,	σв,	σ <sub>0.2</sub> ,	δ,	ψ,	KCU,	KCT,
порошко- вой стали	°C	МПа	МПа	%	%	МДж /м²	МДж∕ м²
У8К	300	<u>2050</u> 1900	<u>1730</u> 1610	<u>8</u> 2,5	<u>20</u> 10	<u>0,35</u> 0,15	0,09 0,02
	400	<u>1400</u> 1250	<u>1220</u> 1050	<u>12</u> 6,0	<u>35</u> 10	<u>0,55</u> 0,20	0,15 0,02
40X	200	<u>1980</u> 1800	<u>1700</u> 1500	<u>8</u> 3	<u>24</u> 12	<u>0,62</u> 0,36	0,21 0,05
40XH	200	<u>2200</u> 1900	<u>1910</u> 1670	<u>6</u> 3	<u>20</u> 10	<u>0,60</u> 0,35	0,20 0,04
40XHM	200	<u>2400</u> 2100	<u>2190</u> 1870	<u>6</u> 1,2	<u>20</u> 8	<u>0,52</u> 0,32	0,24 0,12
	300	<u>1920</u> 1860	<u>1760</u> 1710	<u>10</u> 6	<u>40</u> 20	<u>0,60</u> 0,35	0,28 0,18
30	200	1800 1750	<u>1650</u> 1	<u>10</u> 5	<u>30</u> 10	0,45 0,14	0,15 0,10
	300	<u>1400</u> 1370	<u>1210</u> 1200	<u>16</u> 10	<u>40</u> 15	<u>0,8</u> 0,4	0,35 0,65

Примечание: в числителе – с обезводораживанием до BTMO, в знаменателе – BTMO непосредственно после спекания в водороде.

Установлено, что ВТМО снижает влияние водородного охрупчивания, однако обезводораживание спеченных заготовок приводит к значительному повышению комплекса механических свойств в высокопрочном состоянии.

Все исследованные стали после обезводораживания и термомеханической обработки имели более высокую вязкость по сравнению с контрольной обработкой во всем изученном интервале температур отпуска (200...600 $^{\circ}$ C). Прирост КСU достигает 0,3 ... 0,4 MДж/м², а КСТ – 0,2 ... 0,3 MДж/м².

Водородное охрупчивание значительно сказывается и на усталостную прочность, причиной которой является флокенообразование в процессе горячей деформации. Результаты влияния водородного охрупчивания на усталостную прочность цементованных сталей показали (табл. 2), что чем больше углерода в сердцевине, тем больше проявляется водородное охрупчивание на предел выносливости. Так, для стали П12ХНЗА предел выносливости снижается от 720 до 650 МПа, т.е. на 70 МПа, а для стали П30ХНЗА – от 960 до 790 МПа, т.е. на 170 МПа.

Микроструктурный анализ (рис. 3a) показал, что после BTMO с температуры спекания (при увеличении x340) образуются многочисленные флокены. О причинах водородной хрупкости стали нет еще ясного представления.

Результаты многочисленных исследований в связи с образованием флокенов не всегда сравнимы и противоречивы. Известные на сегодня механизмы, посредством которых водород ухудшает свойства конструкционных сталей, можно разделить на следующие категории: 1) взаимодействие с дислокациями; 2) взаимодействие с межатомными связями в решетке; 3) создание очагов внутреннего давления; 4) образование гидридов.

Таблица 2 Влияние водородного охрупчивания на предел выносливости квазицементованных сталей

Обработка	$\sigma$ -1 на базе 107 циклов, <i>МПа</i>								
после спекания	Материал сердцевины								
после спекания	П20	П30	П12ХНЗА	П20ХН3А	П30ХН3А				
Обезводораживание, ВТМО	740	820	720	870	960				
ВТМО с температу- ры спекания	630	690	650	700	790				
КТО	590	620	620	680	740				

При определенных условиях водород может пагубно влиять на характеристики разрушения большинства конструкционных сплавов. Классический пример – водородное охрупчивание высокопрочной мартенситной стали, являющееся результатом высокой концентрации водорода в металле. Со временем этот водород образует пузыри и трещины по внутренним поверхностям раздела границ зерен или включений и вызывает замедленное разрушение.

Этот вид охрупчивания, вызываемого водородом, находящимся в период пребывания сплава под действием внешней нагрузки (например, при горячей деформации в процессе BTMO), называют внутренним водородным охрупчиванием. Оно характерно для большинства сплавов, используемых в машиностроении.

Неизбежность и специфика водородного охрупчивания при прямой ВТМО (деформация непосредственно с температуры спекания) заключается в следующем: при спекании (1150...1200 $^{\circ}$ C) спрессованного брикета с пористостью 15...30% при избыточном атмосферном давлении водород растворяется в аустените (Fe<sub>Y</sub>) и одновременно в молекулярном состоянии аккумулируется в порах.

Влияние водорода становится заметным в начальный момент пластической деформации и не сказывается в упругой области. Следует принять за основу явления, происходящие в результате совместного действия диффузии водорода и движения дислокаций. Водород образует твердый раствор внедрения, атомы его, подобно атомам углерода, располагаются в решетке преимущественно в местах ее нарушения, особенно в дислокациях. Пластическая деформация при комнатной температуре настолько ускоряет диффузию водорода, что он мигрирует за дислокациями и концентрируется в местах их скопления. При высоких напряжениях (нагрузках) водород выделяется в молекулярное состояние, причем давление его достигает большой величины. Таким путем водород облегчает в этих участках развитие разрыва металла до образования шейки на образце. В соответствии с этим с повышением содержания водорода относительное сужение уменьшается. Из табл. 1 видно, что для исследуемых сталей относительное сужение уменьшается в среднем в два раза.

Наиболее вероятными местами зарождения трещин считаются области объемного растяжения, сконцентрированные в вершинах мартенситных кристаллов, которые являются водородными ловушками с повышенной энергией взаимодействия по сравнению с границами зерен и дислокациями [6].

На флокеночувствительность сталей существенное влияние оказывают структурное состояние матрицы, в которой происходит распад остаточного аустенита, и содержание в ней водорода. Наиболее благоприятной структурой для образования микротрещин является мартенсит. В нем сохраняется наибольшее количество водорода, растворенного в стали при высоких температурах, а также обеспечивается максимальная подвижность при комнатной температуре. Вследствие этого напряженные объемы в мартенситной структуре, какими могут быть области объемного растяжения и другие дефекты, легко обогащаются водородом. Разрушение в таких случаях, как правило, происходит по границам зерен, где в основном концентрируются эти дефекты.

Эти гипотезы позволяют объяснить зависимость охрупчивания от температуры и скорости деформирования.

Если скорость деформирования настолько велика, что атомы водорода не могут больше следовать за распространением дислокаций, то охрупчивание не должно проявиться. При испытаниях, например, литых – компактных сталей на ударный разрыв охрупчивание вообще едва заметно.

Механизм водородного охрупчивания и его воздействие на структуру и свойства порошковых высокопрочных сталей имеет свои особенности и резко отличается от существующих закономерностей литых сталей. Основное воздействие на свойства оказывает не водород, находящийся в твердом растворе, а молекулярный водород, аккумулированный в порах. Естественно, механизм водородного охрупчивания порошковых сталей требует дальнейшего глубокого изучения.

#### выводы

- 1. Исследованы механизм и кинетика водородного охрупчивания при создании высокопрочных порошковых сталей, в частности цементованных.
- 2. Установлено, что при прямой ВТМО порошковых сталей общее количество водорода, находящегося в виде твердого раствора внедрения и в молярном состоянии, аккумулированного в порах, может достигнуть 12...20 см³/100 г металла. Это приводит к флокенообразованию (что подтверждают металлографические исследования) и ухудшению механических свойств, особенно при жестких методах испытаний:

ПЗ5 после  $KTO-KCU=0.25~M_{\mbox{\it M}}/M^2,~KCT=0.08~M_{\mbox{\it M}}/M^2,$  После  $BTMO-KCU=0.4~M_{\mbox{\it M}}/M^2,~KCT=0.2~M_{\mbox{\it M}}/M^2,$  BTMO после обезводораживания -  $KCU=0.6~M_{\mbox{\it M}}/M^2,~KCT=0.4~M_{\mbox{\it M}}/M^2.$  Аналогичные результаты получены для стали  $\Pi Y8.$ 

#### СПИСОК ЛИТЕРАТУРЫ

- 1. **Дорофеев Ю.Г., Гасанов Б.Г.** и др. Промышленная технология горячего прессования порошковых изделий. М.: Металлургия, 1990. 206 с.
- 2. **Дорофеев Ю.Г.** Динамическое горячее прессование пористых порошковых заготовок. М.: Металлургия, 1977. 216 с.
- 3. **Баглюк Г.А.** Уплотнение пористого материала при горячей штамповке в закрытом штампе с компенсатором // Порошковая металлургия.- 1998.- N 5 / 6.
- 4. **Johnson P.K.** Powder metallurgy technology review 1991 //Int. I. Powder Metallurgy. 1991. V. 27, N 2.- P.163-167.
- 5. **Гудреман Э.** Специальные стали. Т. 1, 2. М.: Металлургия, 1966. 1273с.
- 6. **Декаменко В.М.** Механизм локального разрушения конструкционных сталей, содержащих водород //Интеркристаллитная хрупкость сталей и сплавов: Сб. науч. трудов / УНЦАН СССР. Свердловск, 1987. –С. 145-149

ГИУА. Материал поступил в редакцию 4.11.2003.

## Ս.Գ. ՄԱՄՅԱՆ, Ա.Վ. ԱՆԴՐԻԱՍՅԱՆ

## ԶՐԱԾՆԱՅԻՆ ԲԵԿՈՒՆՈՒԹՅԱՆ ՀԵՏԱԶՈՏՈՒՄԸ ՓՈՇԵՊՈՂՊԱՏՆԵՐՈՒՄ ԲԱՐՁՐ ՋԵՐՄԱՄԵԽԱՆԻԿԱԿԱՆ ՄՇԱԿՄԱՆ (ԲՋՄՄ) ԺԱՄԱՆԱԿ

Մահմանված է, որ փոշեպողպատների անմիջական ԲՋՄՄ ժամանակ պինդ լուծույթում գտնվող և ծակոտիներում մոլեկուլյար վիձակում կուտակված ջրածնի ընդհանուր քանակությունը մետաղում կարող է հասնել 10...20սմ³/100 գրամ, ինչը հանգեցնում է ֆլոկենագոյացմանը և մեխանիկական հատկությունների վատացմանը՝ հատկապես կոշտ փորձարկման պայմաններում։

#### S.G. MAMYAN, A.V. ANDRIASYAN

### **INVESTIGATION OF CRISPING IN POWDER STEELS**

It is established that in direct HTTMT powder steels the whole amount of hydrogen as a solid solution and in the molar state, accumulated in pores may reach 10· 20 cm<sup>3</sup>/100g of metal. It results in formation of flakes and decrease of mechanical properties, especially with rigid test methods.